

УДК 531.383

Ю.А. Годоров, С.В. Лутманов

*Пермский государственный национальный
исследовательский университет*

Россия, 614990, Пермь, ул. Букирева, 15
mru@psu.ru; (342) 2-396-309

АНАЛИЗ МЕТОДИЧЕСКИХ ПОГРЕШНОСТЕЙ, ВЫЗВАННЫХ КОНИЧЕСКИМ ДВИЖЕНИЕМ БЕСПЛАТФОРМЕННЫХ ИНЕРЦИАЛЬНЫХ НАВИГАЦИОННЫХ СИСТЕМ

Разработана схема численного эксперимента, имитирующего коническое вращение тела и позволяющего оценить качество вычисляемых законов изменения параметров ориентации.

Ключевые слова: волоконно-оптический гироскоп; коническое движение; углы Эйлера–Крылова.

Введение

Волоконно-оптические гироскопы (ВОГ) предназначены для определения ориентации твердого тела в абсолютном пространстве. В данной статье принимается, что за ориентацию тела в абсолютном пространстве отвечают углы Эйлера–Крылова (см. рис. 1), которые образуют оси координат подвижной системы, связанной с телом, и системы отсчета, движущейся поступательно по отношению к абсолютной системе.

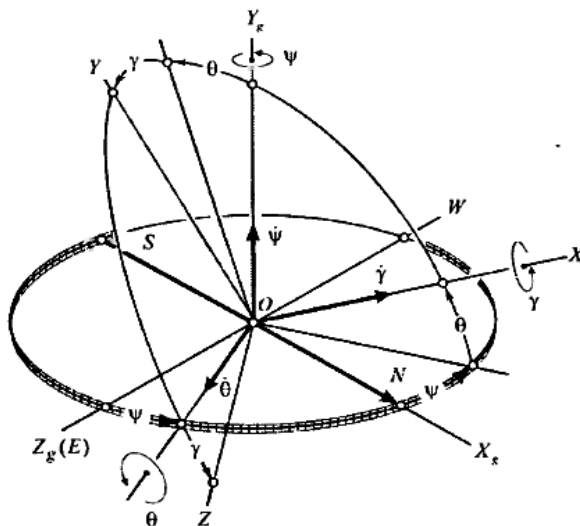


Рис. 1. Взаимное положение связанной и абсолютной систем координат

В процессе движения тела измеряются величин p, q, r – проекции вектора угловой скорости тела на оси подвижной системы координат. Подставляя полученные законы угловых скоростей в кинематические уравнения Эйлера–Крылова [1], связывающие выбранные параметры ориентации с проекциями вектора угловой скорости, и интегрируя их с соответствующими начальными условиями, можно определить законы изменения этих параметров (углов Эйлера–Крылова). Данная схема хорошо работает не для всех режимов движения тела. Существует особый частный случай углового движения – коническое вращение, при котором в сигнале гироскопа появляется постоянное смещение, притом, что ориентация самого гироскопа за одно полное колебание не изменяется. Это смещение является следствием некоммутативности поворотов и не является ошибкой прибора. Компенсация указанного смещения путем выбора подходящего алгоритма вычисления параметров ориентации позволит уменьшить общую погрешность прибора.

В связи с вышесказанным становится актуальной разработка схемы численного эксперимента, который имитирует коническое вращение тела и позволяет оценить качество вычисленных законов изменения параметров ориентации.

1. Коническое движение

Коническое движение – особый вид колебательного движения, при котором одна ось связанной системы координат описывает конус, а две другие движутся по гармоническому закону со сдвигом фаз в 90^0 . Структура конического движения показана на рис. 2.

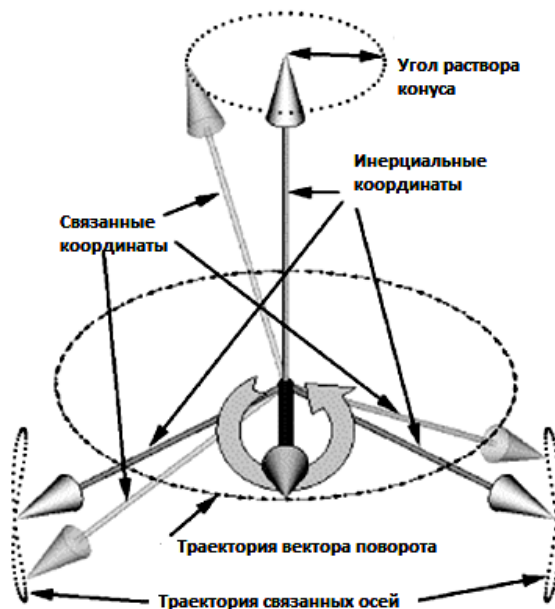


Рис. 2. Структура конического движения

В работе [2] конический закон движения тела в кватернионах ориентации описывается формулой

$$\Lambda(t) = \begin{pmatrix} \lambda_1(t) \\ \lambda_2(t) \\ \lambda_3(t) \\ \lambda_4(t) \end{pmatrix} = \begin{pmatrix} \cos\left(\frac{\Delta\Phi}{2}\right) \\ 0 \\ \sin\left(\frac{\Delta\Phi}{2}\right)\cos(2\pi ft) \\ \sin\left(\frac{\Delta\Phi}{2}\right)\sin(2\pi ft) \end{pmatrix}, \quad (1.1)$$

где $\Delta\Phi$ – угол раствора конуса, f – частота, с которой ось, описывает конус, t – текущее время. Для определения закона изменения углов Эйлера–Крылова подставим выражение (1.1) в формулы

$$\begin{aligned} \psi^{эм} &= \operatorname{arctg} \left(-\frac{2\lambda_1\lambda_3 - 2\lambda_0\lambda_2}{2\lambda_1^2 + 2\lambda_0^2 - 1} \right), \\ \theta^{эм} &= \arcsin(2\lambda_1\lambda_2 + 2\lambda_0\lambda_3), \\ \gamma^{эм} &= \operatorname{arctg} \left(-\frac{2\lambda_2\lambda_3 - 2\lambda_0\lambda_1}{2\lambda_0^2 + 2\lambda_2^2 - 1} \right) \end{aligned} \quad (1.2)$$

[3], связывающие углы Крылова–Эйлера с кватернионом ориентации. В результате получим

$$\begin{aligned} \psi^{эм}(t) &= \\ &= \operatorname{arctg} \left(-\frac{2 \cos(2f\pi t) \cdot \cos\left(\frac{\Delta\Phi}{2}\right) \cdot \sin\left(\frac{\Delta\Phi}{2}\right)}{-1 + 2 \cos^2\left(\frac{\Delta\Phi}{2}\right)} \right), \\ \theta^{эм}(t) &=, \\ &= \arcsin \left(2 \cos\left(\frac{\Delta\Phi}{2}\right) \cdot \sin\left(\frac{\Delta\Phi}{2}\right) \cdot \sin(2f\pi t) \right), \end{aligned} \quad (1.3)$$

$$\gamma^{\text{эм}}(t) = -\arctg \left(\frac{2 \cos(2f\pi t) \cdot \sin(2f\pi t) \cdot \sin^2\left(\frac{\Delta\Phi}{2}\right)}{-1 + 2 \cos^2(2f\pi t) + 2 \cos^2(2f\pi t) \cdot \sin^2\left(\frac{\Delta\Phi}{2}\right)} \right).$$

Зависимости (1.3) представляют собой закон изменения углов Крылова–Эйлера в предположении, что тело совершает коническое движение. В дальнейшем этот закон будем считать эталонным, т.е. таким, с которым будет сравниваться рассчитываемый закон движения.

2. Описание численного эксперимента

С целью имитации процесса измерения вектора угловой скорости, т.е. определения функций

$$p = p^{\text{изм}}(t), q = q^{\text{изм}}(t), r = r^{\text{изм}}(t),$$

подставим эталонные зависимости (1.3) в кинематические уравнения Эйлера–Крылова

$$\begin{aligned} \dot{\psi} &= \frac{1}{\cos \theta} [q \cos \gamma - r \sin \gamma], \\ \dot{\theta} &= q \sin \gamma + r \cos \gamma, \\ \dot{\gamma} &= p - \text{tg} \theta [q \cos \gamma - r \sin \gamma]. \end{aligned} \quad (2.1)$$

Тогда

$$\begin{aligned} \dot{\psi}^{\text{эм}} &= \frac{1}{\cos \theta^{\text{эм}}} [q \cos \gamma^{\text{эм}} - r \sin \gamma^{\text{эм}}], \\ \dot{\theta}^{\text{эм}} &= q \sin \gamma^{\text{эм}} + r \cos \gamma^{\text{эм}}, \\ \dot{\gamma}^{\text{эм}} &= p - \text{tg} \theta^{\text{эм}} [q \cos \gamma^{\text{эм}} - r \sin \gamma^{\text{эм}}]. \end{aligned} \quad (2.2)$$

Разрешая уравнения (2.2) относительно проекций вектора угловых скоростей p, q, r находим:

$$\begin{aligned}
 p^{u3M}(t) &= \\
 &= \dot{\gamma}^{\varepsilon m}(t) + \dot{\psi}^{\varepsilon m}(t) \sin \theta^{\varepsilon m}(t), \\
 q^{u3M}(t) &= \\
 &= \dot{\psi}^{\varepsilon m}(t) \cos \gamma^{\varepsilon m}(t) \cdot \cos \theta^{\varepsilon m}(t) + \dot{\theta}^{\varepsilon m}(t) \cdot \sin \gamma^{\varepsilon m}(t), \\
 r^{u3M}(t) &= \\
 &= \dot{\theta}^{\varepsilon m}(t) \cdot \cos \gamma^{\varepsilon m}(t) - \dot{\psi}^{\varepsilon m}(t) \cdot \cos \theta^{\varepsilon m}(t) \cdot \sin \gamma^{\varepsilon m}(t).
 \end{aligned} \tag{2.3}$$

Формулы (2.3) описывают непрерывный закон изменения проекций вектора угловой скорости при коническом движении. Реальные измерения в силу своей дискретности не позволяют получить зависимости (2.3) в полном объеме. При проведении числовых экспериментов на базе формул (2.3) нарабатывается трехмерный массив значений проекций вектора угловой скорости с шагом, отвечающим частоте сбора информации датчиками. Определение измеренного закона изменения углов Эйлера–Крылова осуществляется путем интегрирования системы дифференциальных уравнений

$$\begin{aligned}
 \dot{\psi} &= \frac{1}{\cos \theta} \left[q^{u3M}(t) \cos \gamma - r^{u3M}(t) \sin \gamma \right], \\
 \dot{\theta} &= q^{u3M}(t) \sin \gamma + r^{u3M}(t) \cos \gamma, \\
 \dot{\gamma} &= p^{u3M}(t) - tg \theta \left[q^{u3M} \cos \gamma - r \sin \gamma \right].
 \end{aligned} \tag{2.4}$$

относительно углов Эйлера–Крылова ψ, θ, γ с начальными условиями:

$$\begin{aligned}
 \psi(0) &= \psi^{\varepsilon m}(0) = \\
 &= a \operatorname{rctg} \left(\frac{2 \cos(2f\pi t) \cdot \cos\left(\frac{\Delta\Phi}{2}\right) \cdot \sin\left(\frac{\Delta\Phi}{2}\right)}{-1 + 2 \cos^2\left(\frac{\Delta\Phi}{2}\right)} \right) \Bigg|_{t=0} = \\
 &= -\operatorname{arctg} \left(\frac{2 \cdot \cos\left(\frac{\Delta\Phi}{2}\right) \cdot \sin\left(\frac{\Delta\Phi}{2}\right)}{-1 + 2 \cos^2\left(\frac{\Delta\Phi}{2}\right)} \right) = -\operatorname{arctg} \left(\frac{\sin \Delta\Phi}{\cos \Delta\Phi} \right) = -\Delta\Phi,
 \end{aligned} \tag{2.5}$$

$$\begin{aligned} \theta(0) &= \theta^{эм}(0) = \\ &= \arcsin \left(2 \cos \left(\frac{\Delta\Phi}{2} \right) \cdot \sin \left(\frac{\Delta\Phi}{2} \right) \cdot \sin(2f\pi t) \right) \Bigg|_{t=0} = 0, \\ \gamma(0) &= \gamma^{эм}(0) = \\ &= -\operatorname{arctg} \left(\frac{2 \cos(2f\pi t) \cdot \sin(2f\pi t) \cdot \sin^2 \left(\frac{\Delta\Phi}{2} \right)}{-1 + 2 \cos^2(2f\pi t) + 2 \cos^2(2f\pi t) \cdot \sin^2 \left(\frac{\Delta\Phi}{2} \right)} \right) \Bigg|_{t=0} = 0. \end{aligned}$$

Пусть $\psi = \hat{\psi}(t)$, $\theta = \hat{\theta}(t)$, $\gamma = \hat{\gamma}(t)$ – решение системы (2.4) с начальными условиями (2.5). Качество проведенного эксперимента оценим по критерию

$$\begin{aligned} I[\hat{\psi}(\cdot), \hat{\theta}(\cdot), \hat{\gamma}(\cdot)] &= \\ &= \frac{\int_0^T \sqrt{(\hat{\psi}(t) - \psi^{эм}(t))^2 + (\hat{\theta}(t) - \theta^{эм}(t))^2 + (\hat{\gamma}(t) - \gamma^{эм}(t))^2} dt}{\int_0^T \sqrt{(\psi^{эм}(t))^2 + (\theta^{эм}(t))^2 + (\gamma^{эм}(t))^2} dt}. \end{aligned} \quad (2.6)$$

Очевидно, чем меньше его величина, тем точнее алгоритм определения изменения углов Эйлера–Крылова.

Были проведены три опыта. В первом из них предполагалось, что процесс измерения проекций вектора угловой скорости происходил непрерывно, во втором – съем информации с датчиков осуществлялся дискретно с частотой 400 Гц, в третьем опыте частота съема информации была увеличена в 2 раза до 800 Гц. В последних двух случаях функции

$$p = p^{изм}(t), q = q^{изм}(t), r = r^{изм}(t)$$

отождествлялись с интерполяционными полиномами, аппроксимирующими наработанный трехмерный массив данных.

Все расчеты проводились в среде пакета Wolfram Mathematica–8. В процессе вычислений принималось:

$$\Delta\Phi = \frac{\pi}{180} \text{ рад}, \quad f = 100 \frac{1}{\text{сек}}, \quad T = 1 \text{ сек}.$$

3. Графики эталонных законов изменения углов Эйлера–Крылова

Графики эталонных законов изменения углов Эйлера–Крылова для конического вращения представлены на рис. 3–5.

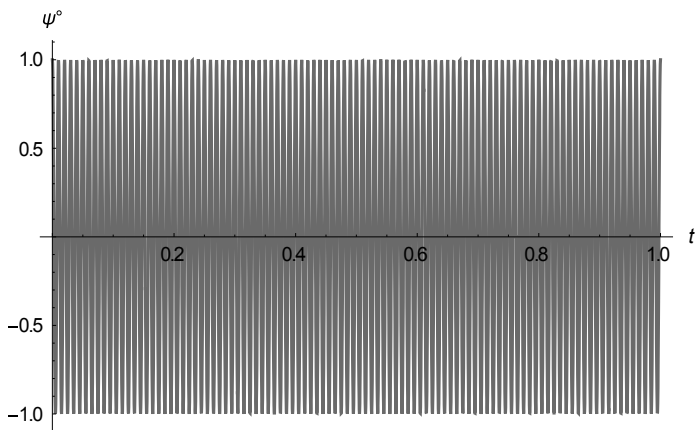


Рис. 3. График функции $\psi = \psi^m(t)$

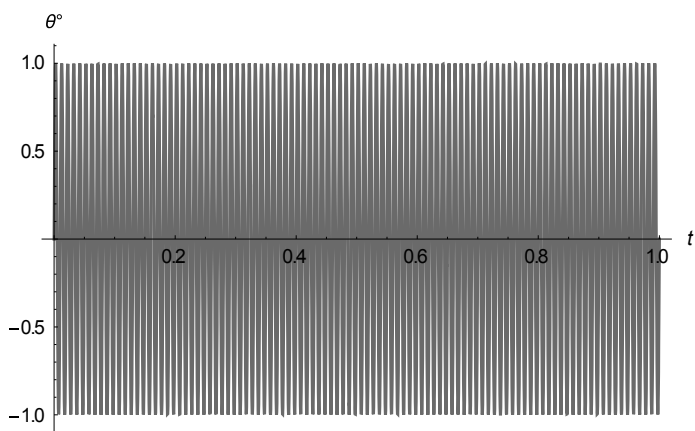
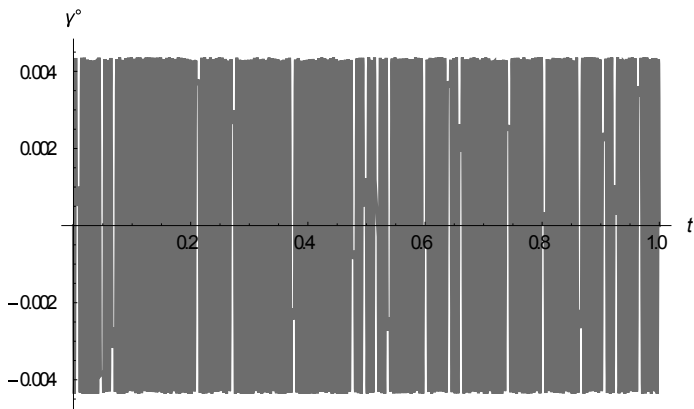
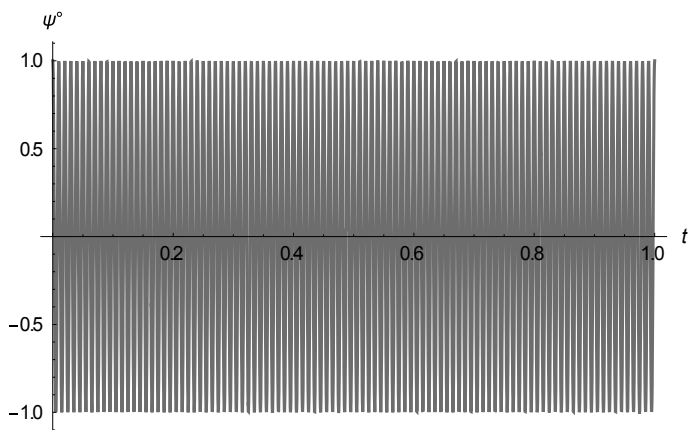


Рис. 4. График функции $\theta = \theta^m(t)$

Рис. 5. График функции $\gamma = \gamma^m(t)$

4. Графики законов изменения углов Эйлера–Крылова в первом опыте

Графики законов изменения углов Эйлера–Крылова для конического вращения в первом опыте представлены на рис. 6–8.

Рис. 6. График функции $\psi = \hat{\psi}_1(t)$

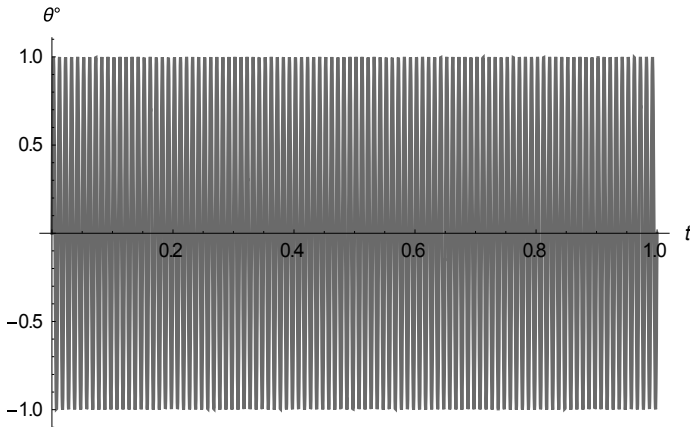


Рис. 7. График функции $\theta = \hat{\theta}_1(t)$

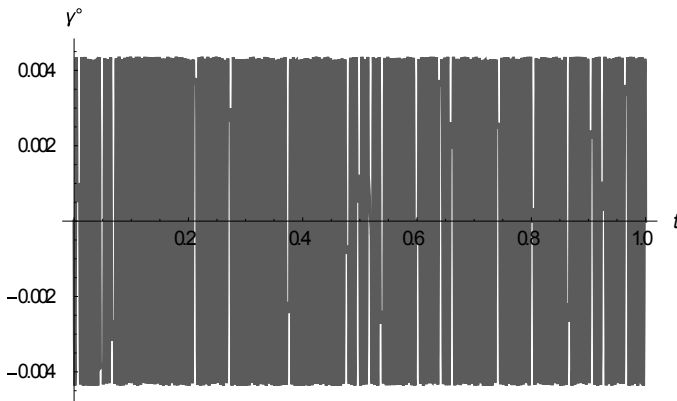


Рис. 8. График функции $\gamma = \hat{\gamma}_1(t)$

Критерий (2.6) здесь принял значение $I[\hat{\psi}_1(\cdot), \hat{\theta}_1(\cdot), \hat{\gamma}_1(\cdot)] = 0.000007$.

5. Графики законов изменения углов Эйлера–Крылова во втором опыте

Графики законов изменения углов Эйлера–Крылова для конического вращения во втором опыте представлены на рис. 9–11.

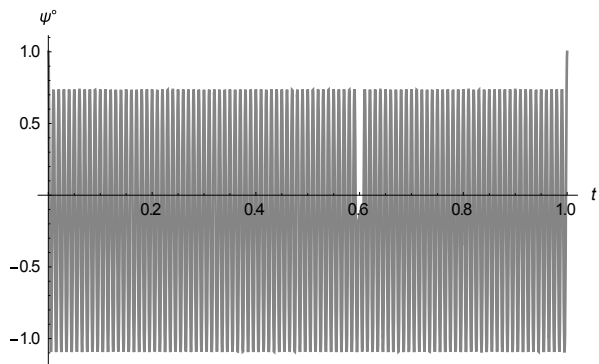


Рис. 9. График функции $\psi = \hat{\psi}_2(t)$

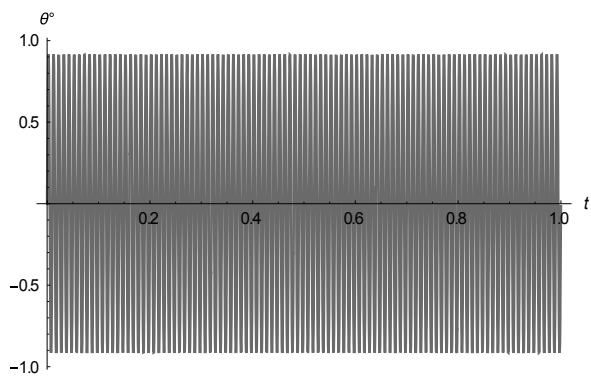


Рис. 10. График функции $\theta = \hat{\theta}_2(t)$

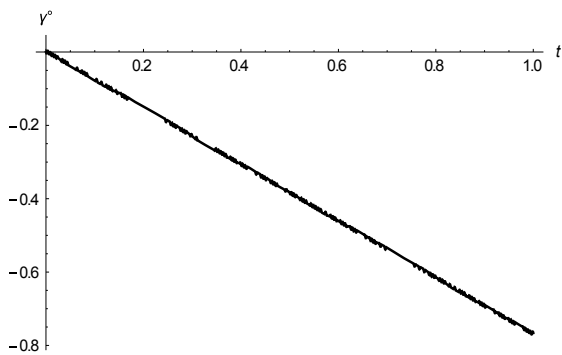


Рис. 11. График функции $\gamma = \hat{\gamma}_2(t)$

Критерий (2.6) здесь принял значение

$$I[\hat{\psi}_2(\cdot), \hat{\theta}_2(\cdot), \hat{\gamma}_2(\cdot)] = 0.444134.$$

6. Графики законов изменения углов Эйлера–Крылова в третьем опыте

Графики законов изменения углов Эйлера–Крылова для конического вращения в третьем опыте представлены на рис. 12–13.

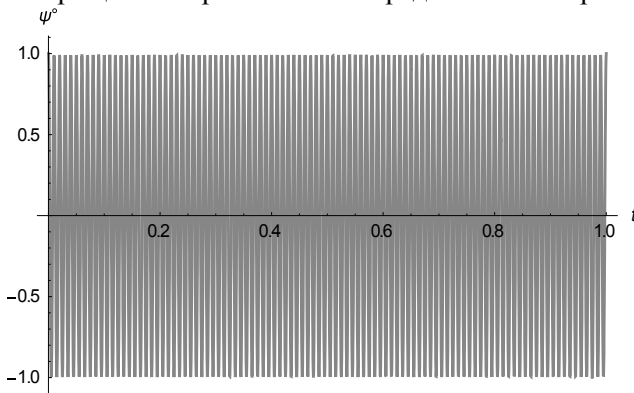


Рис. 12. График функции $\psi = \hat{\psi}_3(t)$

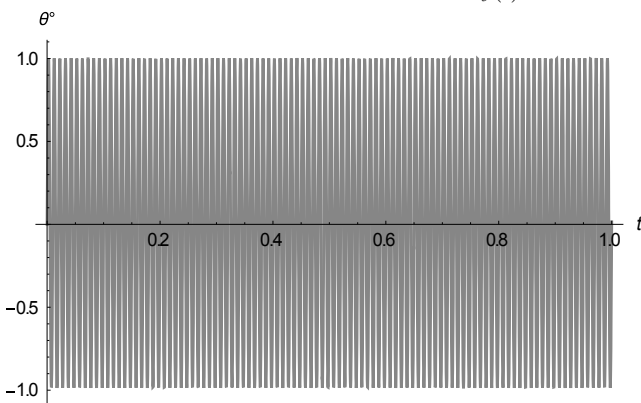
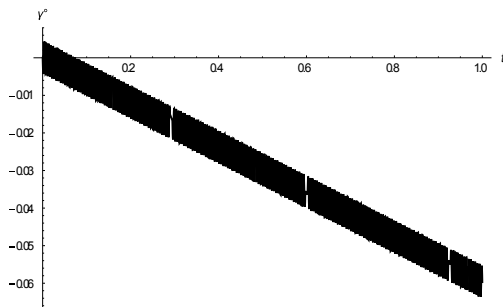


Рис. 13. График функции $\theta = \hat{\theta}_3(t)$

Рис. 14. График функции $\gamma = \hat{\gamma}_3(t)$

Здесь критерий (2.6) принял значение $I[\hat{\psi}_3(\cdot), \hat{\theta}_3(\cdot), \hat{\gamma}_3(\cdot)] = 0.0320714$.

Заключение

Из анализа результатов проведенных экспериментов следует, что имеет место "уход" вычисленного закона изменения угла γ от его эталонного закона. Этот "уход" тем меньше, чем выше частота съема информации. В пределе, когда съем информации непрерывен, "уход" практически отсутствует. Этот факт подтверждается графиком на рис. 8 и малым значением критерия (2.6). Однако практическая реализация непрерывного снятия информации ограничена техническими возможностями приборов. Таким образом, предложенная схема построения законов изменения углов Эйлера–Крылова в условиях конического движения требует принципиальной доработки.

Библиографический список

1. *Бранец В.Н., Шмыглевский И.П.* Введение в теорию бесплатформенных инерциальных навигационных систем. М.: Наука, 1992. 280 с.
2. *Salychev O.* Inertial Systems in Navigation and Geophysics. Moscow: Bauman MSTU Press, 1998. 352 p.
3. *Матвеев В.В.* Основы построения бесплатформенных инерциальных систем. СПб.: ГНЦ РФ ОАО "Концерн "ЦНИИ Электроприбор", 2009. 280 с.